

М.Л. Герман, В.А. Бородуля, Е.Ф. Ноготов, Г.И. Пальченок

ИНЖЕНЕРНЫЙ МЕТОД РАСЧЕТА ТЕМПЕРАТУРНОГО РЕЖИМА ЖАРОТРУБНЫХ КОТЛОВ С ТУПИКОВОЙ ТОПКОЙ

АНК «Институт тепло- и массообмена им. А.В. Лыкова» НАНБ

Введение

В последнее время во многих развитых европейских странах (Германии, Швеции, Финляндии и др.) и России большое внимание уделяется разработке и выпуску новых жаротрубных паровых и водогрейных котлов мощностью от 1 до 4 МВт (рис.1). Они находят широкое применение в районных, заводских и коммунально-бытовых отопительных котельных, приходя на смену чугунным водогрейным котлам. Это объясняется их меньшей стоимостью по сравнению с водотрубными и чугунными котлами, более высоким КПД (92-93 %), большей степенью автоматизации и лучшей ремонтопригодностью. Вместе с тем для разработки и производства такого оборудования в настоящее время нет достаточно строгой нормативно-расчетной базы.

В применяемом в настоящее время нормативном методе расчета котельных агрегатов весьма приближенно учитываются основные закономерности теплообмена в топочной камере, и тепловой расчет ее требует задания ряда эмпирических поправок для определения критерия Больцмана, степени черноты топки и неоднородности температурного поля в ней. Все эти поправки известны только для отработанных типов котлов или однотипных с ними. Кроме того, в нормативном методе теплового расчета котельных агрегатов не учитывается в явном виде конфигурация объема и лучевоспринимающей поверхности топочной камеры.

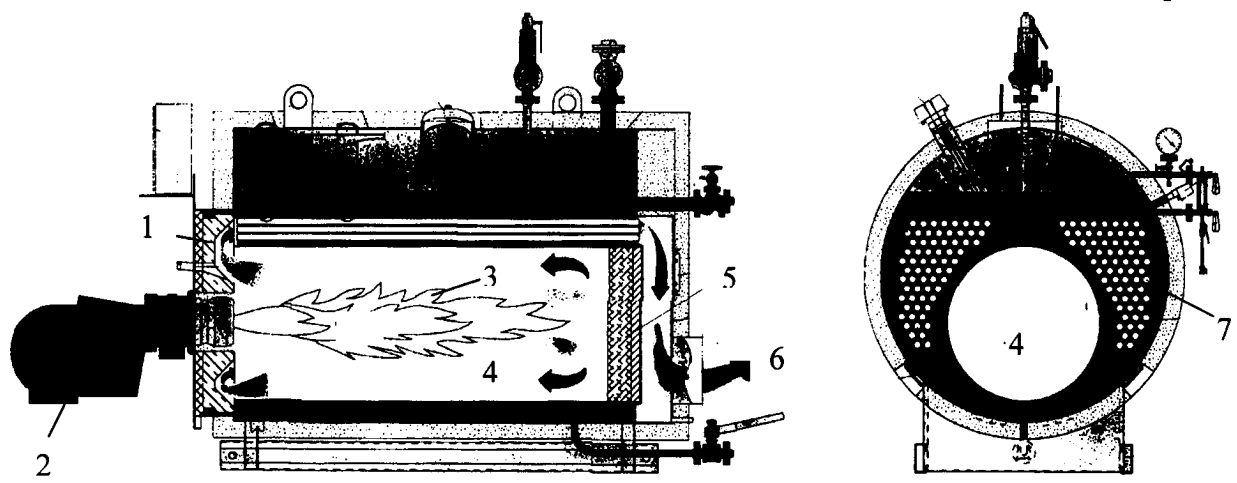


Рис. 1. Общий вид универсального жаротрубного котла с тупиковой (реверсивной) топкой:

1 – передний экран, 2 – горелка, 3 – факел, 4 – топочная камера, 5 – тупиковый экран, 6 – дымовые газы, 7 – дымогарные трубы

При проектировании новых энергетических топок, отличающихся по типу и размерам от существующих, и в частности для жаротрубных котлов с реверсивными (туниковыми) топками, тепловой расчет по нормативному методу может давать результаты, значительно отличающиеся от реальных. В данной работе предлагается более точный метод расчета теплового режима топочных камер.

1. Математическая модель

Процесс теплообмена в топочной камере описывается уравнением энергии, которое в стационарном случае имеет вид [1]

$$\operatorname{div}\left(c_p \rho \bar{\theta} T(\bar{r}) - \lambda \cdot \operatorname{grad} T(\bar{r})\right) = Q_c(\bar{r}) - \operatorname{div} \bar{Q}_r(\bar{r}). \quad (1)$$

Здесь $T(\bar{r})$ - температура среды в точке \bar{r} ; $\bar{\theta}$, λ , c_p , ρ - соответственно скорость перемещения, коэффициент теплопроводности, теплоемкость и плотность топочной среды; $Q_c(\bar{r})$ - объемные тепловыделения от горения топливной смеси, $\operatorname{div} \bar{Q}_r$ - дивергенция радиационных потоков. Все величины зависят от координаты \bar{r} и температуры T . Для корректного определения поля температуры в объеме топочной камере необходимо знать распределения полей скорости $\bar{\theta}(\bar{r})$, тепловых $Q_c(\bar{r})$ и радиационных $\operatorname{div} \bar{Q}_r(\bar{r})$ источников.

Турбулентное поле движения смеси молекулярных газов можно рассчитать на основе осредненных во времени уравнений Навье-Стокса [2] с использованием двухпараметрической $k-\epsilon$ модели турбулентности [3].

Плотность источников излучения $\operatorname{div} \bar{Q}_r(\bar{r})$ определяется из решения уравнения переноса излучения при условии локального термодинамического равновесия [4]:

$$\bar{l} \cdot \nabla I_\lambda(\bar{r}, \bar{l}) + (\chi_\lambda + \sigma_\lambda) I_\lambda(\bar{r}, \bar{l}) = \chi_\lambda B_\lambda(T) + \frac{\sigma_\lambda}{4\pi} \int_{4\pi} p_\lambda(\bar{r}, \bar{l}, \bar{l}') I_\lambda(\bar{r}, \bar{l}') d\Omega', \quad (2)$$

где $I_\lambda(\bar{r}, \bar{l})$ - спектральная интенсивность излучения в точке \bar{r} в направлении \bar{l} ; χ_λ , σ_λ - спектральные коэффициенты поглощения и рассеяния соответственно; $B_\lambda(T)$ - спектральная интенсивность излучения черного тела при температуре T ; $p_\lambda(\bar{r}, \bar{l}, \bar{l}')$ - индикатор рассеяния излучения при его взаимодействии с элементарным объемом среды. Для определения дивергенции лучистых потоков в каждой точке топочной среды используется соотношение [5]

$$\operatorname{div} \bar{Q}_r(\bar{r}) = \int_0^\infty \chi_\lambda(\bar{r}) \left(4\pi B_\lambda(T(\bar{r})) - \int_{4\pi} I_\lambda(\bar{r}, \bar{l}) d\Omega \right) d\lambda. \quad (3)$$

Каждая из указанных задач является достаточно сложной и трудоемкой. Поэтому при расчете реальных топочных агрегатов прибегают к различного вида упрощениям. При этом, конечно, необходимо наиболее корректно сохранить вклад превалирующих механизмов энергопереноса – конвекции и радиации. Поскольку подавляющую роль в топочных процессах (до 90 %) играет перенос энергии излучением [6], то особенно важно наиболее полно учесть вклад радиационной составляющей теплообмена.

С целью упрощения математической модели проинтегрируем уравнение переноса энергии (1) по объему:

$$\iiint_V \operatorname{div}(c_p \rho \bar{\theta} T - \lambda \cdot \operatorname{grad} T) dV = \iiint_V (Q_c - \operatorname{div} \bar{Q}_r) dV. \quad (4)$$

Далее, согласно теореме Гаусса-Остроградского и учитывая условие неразрывности ($\rho_0 \vartheta_0 S_0 = \rho_k \vartheta_k S_k = G$) и условие прилипания на твердых поверхностях ($\bar{\vartheta} = 0$), это уравнение приводится к виду

$$G(c_p T_a - c_p T_k) = \iint_S \alpha(T - T_w) dS + \iiint_V \operatorname{div} \bar{Q}(\bar{r}) dV = Q_w^k + Q_w^r. \quad (5)$$

Здесь S_0, S_k - входное и выходное сечения топки (рис.2), ϑ_0, ϑ_k - скорость подачи топливной смеси и истечения дымовых газов; T_a - адиабатическая температура сгорания топлива; α - коэффициент конвективной теплоотдачи от потока на стенки топочной камеры; Q_w^k и Q_w^r - теплота, переданная стенкам топки за счет конвекции и излучения соответственно.

Заметим, что если в уравнении (5) заменить член Q_w^k коэффициентом сохранения теплоты φ и положить радиационный поток на стенки равным $Q_w^r = a_T \sigma_0 S (T_\phi^4 - T_w^4)$, то получим известную методику ВТИ-ЭНИН [6]:

$\varphi D c_p (T_a - T_k) = a \sigma_0 S (T_\phi^4 - T_w^4)$. Здесь $\sigma_0 = 5.68 \cdot 10^{-8}$ Вт/(м²·К⁴) - постоянная Стефана-Больцмана; a_T - степень черноты топки, S - площадь лучевоспринимающей поверхности, T_ϕ - эффективная температура топочной среды, которая определяется соотноше-

нием $T_\phi = T_k (1 + \sum_{i=1}^n \Delta_i)$ через эмпирические поправки Δ_i на сорт топлива, расположение

горелок и т.д. Методика ВТИ-ЭНИН расчета температуры уходящих дымовых газов является составной частью нормативного метода теплового расчета котельных агрегатов [7].

В основе методики ЦКТИ [6] лежит расчетная формула, связывающая температуру газов на выходе из топки с критерием Больцмана Bo , степенью черноты топки a_T и некоторым параметром M , характеризующим неоднородность температурного поля: $\frac{T_k}{T_a} = \frac{Bo^{0.6}}{M \cdot a_T^{0.6} + Bo^{0.6}}$, которая весьма приближенно учитывает основные закономерности теплообмена. К тому же для определения Bo , a_T и M также требуется задание ряда эмпирических поправок, которые известны только для отработанных типов котлов.

1.1. Определение температуры уходящих дымовых газов

Рассмотрим идеализированную печь, в которой подача горючей смеси в объем и удаление продуктов сгорания происходят одновременно в каждой точке объема. Тогда локальная температура в любой произвольно выбранной точке объема $T(\bar{r})$ является локальной температурой уходящих дымовых газов. При условии дальнейшего полного перемешивания, что в действительности происходит в выходном сечении топочной камеры (а для тупиковой топки и в ее объеме), общая температура уходящих дымовых газов есть не что иное, как средняя величина локальных температур уходящих газов в объеме топки:

$$T_k = \frac{1}{V} \iiint_V T(\bar{r}) dV. \quad (6)$$

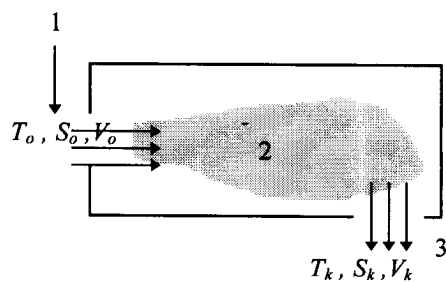


Рис. 2. Схема топочной камеры:
1-горючая смесь; 2-факел; 3-дымовые газы

С учетом этого уравнение (5) принимает вид

$$\iiint_V \left(dc_p T_a - dc_p T(\bar{r}) - q_k - \operatorname{div} \bar{Q}_r(\bar{r}) \right) dV = 0 , \quad (7)$$

где $d = G / V$ - величина объёмной плотности расхода горючей смеси, которая, согласно принятым предположениям, является *постоянной* в объёме топки;

$$q_k = \frac{1}{V} \iint_S \alpha(T - T_w) dS \quad (8)$$

- среднеинтегральная объёмная плотность стоков тепла за счет конвекции. Для явного учета излучения в уравнении (6) преобразуем выражение (3) для дивергенции лучистых потоков:

$$\operatorname{div} \bar{Q}_r(\bar{r}) = 4\tilde{\chi}\sigma_0 T^4(\bar{r}) - \int_0^\infty \chi_\lambda(\bar{r}) \int_{4\pi} I_\lambda(\bar{r}, \bar{l}) d\Omega d\lambda . \quad (9)$$

Здесь $\tilde{\chi} = \frac{\pi}{\sigma_0 T^4} \int_0^\infty \chi_\lambda B_\lambda(T) d\lambda$ - среднеинтегральный коэффициент поглощения топочной среды.

Для упрощения записи введем параметр $U = \int_0^\infty \chi_\lambda(\bar{r}) \int_{4\pi} I_\lambda(\bar{r}, \bar{l}) d\Omega d\lambda$. С учетом этого уравнение

для определения локальных температур (7) запишется как

$$4\tilde{\chi}\sigma_0 T^4(\bar{r}) + dc_p T(\bar{r}) = dc_p T_a - q_k + U . \quad (10)$$

Данное уравнение является существенно нелинейным, поскольку $\tilde{\chi}$, q_k и U имеют сильную зависимость от температуры среды и тепловоспринимающей поверхности.

1.2. Определение характеристик переноса излучения

Радиационные источники рассчитываются непосредственно из уравнений (3), (5). При этом граничные условия к уравнению переноса излучения с учетом процессов отражения и излучения на лучевоспринимающих поверхностях топки, которые предполагаются диффузионными, имеют вид

$$I(P, \bar{l}) \Big|_{(\bar{l} \cdot \bar{n}) < 0} = \varepsilon B(T_w(P)) + \frac{1-\varepsilon}{\pi} \int_{2\pi} I(P, \bar{l}') \cdot (\bar{l}' \cdot \bar{n}) d\Omega' , \quad (11)$$

где ε, \bar{n} - степень черноты поверхности и внешняя нормаль к ней.

К настоящему времени известно достаточно большое количество различных методов решения уравнения переноса излучения (2) с граничными условиями (11): Монте-Карло [8], приближение сферических гармоник [9], радиационных элементов [10], характеристик [4,11], зональные [12] и другие методы. Одним из последних направлений в методике решения уравнения переноса излучения являются комбинации метода дискретных ординат [13] с методами конечных разностей [14,15] или конечных элементов [16,17]. Популярность такого подхода для решения уравнения переноса объясняется относительной простотой вычислительного алгоритма и его совместимостью с расчетными схемами для других механизмов переноса энергии. Тем не менее на проведенном в августе 1995 г. Первом международном симпозиуме по радиационному теплообмену [18], где обсуждалось современное состояние исследований в области переноса излучения, было отмечено, что в настоящее время нет достаточно надежного и эффективного метода расчета уравнения

переноса, несмотря на ряд новых подходов к решению этой проблемы. Каждый из существующих методов имеет свои недостатки и ограниченную область применения.

В данной работе предлагается использовать новый подход к расчету задач переноса излучения, предполагающий при численном решении уравнения переноса (2) использовать его кусочно-аналитические решения. Результаты применения этого подхода для решения ряда практических задач [19,20] показали, что он свободен от многих недостатков, присущих другим методам, и обладает рядом достоинств, позволяющих существенно расширить круг решаемых задач, связанных с переносом энергии излучением. Обеспечивая более высокую точность и скорость решения, этот метод требует для своей реализации значительно меньше компьютерных ресурсов.

Основой предлагаемого метода является комбинация метода дискретных ординат [13-17] и метода трассировки луча [11,20] - интенсивность излучения определяется вдоль траектории луча с учетом оптических и геометрических свойств среды и граничной поверхности путем использования кусочно-аналитических решений уравнения (2). Для пространственной дискретизации расчетной области используется идеология метода конечных элементов [17,21], что позволяет описывать сложные конфигурации и сохранять совместимость с расчетными схемами для других механизмов переноса энергии. Детальное описание предлагаемого метода решения переноса излучения можно найти в работе [22].

Для расчета спектральных коэффициентов поглощения и рассеяния топочной среды предлагается использовать эффективную методику, изложенную в работе [4]. Расчет характеристик радиационного теплообмена целесообразно проводить в диапазоне длин волн $\lambda=1\div6 \text{ мкм}$, где сосредоточена основная излучательная энергетика продуктов сгорания.

На основе решения уравнения переноса определяются:

- среднеинтегральный коэффициент поглощения топочной среды $\tilde{\chi}$;
- параметр $U = \int_0^{\infty} \tilde{\chi}_{\lambda}(\bar{r}) \int_{4\pi} I_{\lambda}(\bar{r}, \bar{l}) d\Omega d\lambda$;
- локальные плотности результирующего радиационного потока на поверхностях топочной камеры $q_w'(P) = \int_0^{\infty} \epsilon \left(\int_{2\pi} I_{\lambda}(P, \bar{l}) \cdot (\bar{l} \cdot \bar{n}) d\Omega - \pi B_{\lambda}(T_w(P)) \right) d\lambda$, которые используются в дальнейших расчетах для определения их температуры.

1.3. Учет конвективного теплообмена в топочной камере

Конвективные стоки тепла q_k в рамках принятой модели вычисляются по формуле (8). Определение коэффициента теплоотдачи α от топочных газов к стенке топки производится согласно нормативному методу [7]:

$$\alpha = \begin{cases} 0,15\zeta \frac{\lambda}{D} Pr^{0,33} Re^{0,43}, & Re < 2000; \\ 0,023\zeta \frac{\lambda}{D} Pr^{0,4} Re^{0,8}, & Re > 2000; \end{cases} \quad Re = \frac{9D}{\eta}. \quad (12)$$

Здесь ζ - поправочный коэффициент [7], зависящий от соотношения длины (высоты) топочной камеры и ее диаметра D . Для определения α необходимо знать скорость обтекания поверхностей топочной камеры газовой смесью. Предлагается использовать ее среднее значение и вычисление производить по формуле

$$\vartheta = \xi \frac{D}{\tilde{\rho} S_t} , \quad (13)$$

где $\tilde{\rho}$ - средняя плотность газов в топочной камере и S_t – площадь ее поперечного сечения. Для реверсивных топок поправочный коэффициент $\xi=2$, а для прямоточных – $\xi=1$.

Плотность локального конвективного потока тепла в точке P на граничной поверхности камеры определяется выражением

$$q_w^k = \alpha(P) \cdot (T(P) - T_w(P)) , \quad (14)$$

где $T(P)$ и $T_w(P)$ – соответственно температура топочной среды и стенки в данной точке.

1.4. Определение температуры стенок топочной камеры

Для стенок топочных камер котельных агрегатов характерны низкое термическое сопротивление и отсутствие вдоль их значительных градиентов приходящих тепловых потоков. Вследствие этого можно при определении локальных температур считать, что полный поток тепла q_w , падающий на стенку в точке P со стороны факела (рис.3), равен полному потоку q_w^h , снимаемому с противоположной стороны теплоносителем. Тогда для определения температуры $T_w(P)$ и $T_w^h(P_h)$ в каждой точке стенки можно использовать систему уравнений

$$q_w = \frac{T_w - T_w^h}{R} = \alpha_t (T_w^h - T_o) + \varepsilon_t \sigma_0 ((T_w^h)^4 - T_o^4) , \quad (15)$$

где α_t и ε_t – соответственно коэффициент теплоотдачи и приведенная степень черноты в системе наружная поверхность стенки - теплоноситель; R – термическое сопротивление стенки; T_o – температура теплоносителя, омывающего внешнюю поверхность топочной камеры. Для внешней стороны рабочих поверхностей топочной камеры коэффициент теплоотдачи от стенки к кипящей воде рассчитывается из nomogramm нормативного метода [7]. Для внешних поверхностей, омываемых дымовыми газами или окружающим воздухом (например, топочный экран и тупик), расчет коэффициента теплоотдачи можно производить с помощью соотношения [23]

$$\alpha_t = 0.6 \frac{\lambda}{H} (\text{Gr} \cdot \text{Pr})^{0.25} , \quad (16)$$

где λ - коэффициент теплопроводности омывающего газа; H - характерный размер поверхности. При определении числа Грасгофа Gr в качестве характерного перепада температуры принимается разность между температурой стенки и температурой окружающей среды. Значения числа Прандтля Pr, кинематической вязкости v и коэффициента теплопроводности λ в зависимости от температуры приводятся также в работе [23].

Такой подход позволяет рассчитывать не только температуру стенки, омываемой водой (пароводяной смесью), но и температуру экранных поверхностей в топке.

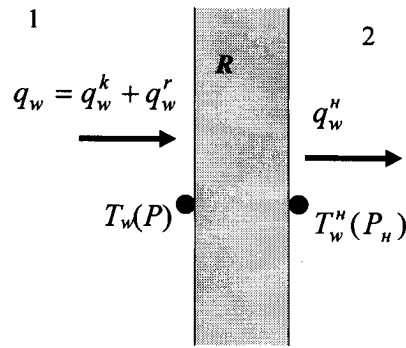


Рис. 3. К расчету температуры стенок.
1 – топка, 2 – теплоноситель

1.5.Методика расчета теплового режима топочной камеры

Для расчета температурных характеристик топочной камеры производится дискретизация её объёма в соответствии с методом конечных элементов [21]. Выбор идеологии этого метода обусловлен возможностью описания сложных конфигураций. В результате такой дискретизации получается некоторое количество элементов N_e , объемных N_p и граничных B_p узлов разбиения (рис.4). В объемных узлах рассчитываются все интересующие характеристики топочной среды (температура, оптические характеристики, дивергенция лучистых потоков и т.д.). В граничных узлах рассчитываются температура стенки внутри и снаружи топки, а также плотности радиационного и конвективного потоков на стенку.

Поскольку система уравнений для определения теплового режима топочной камеры (3), (7)-(17) является существенно нелинейной, её решение осуществляется путем итерационного уточнения входящих в неё параметров. При этом вычислительный алгоритм включает следующие этапы:

1. В начальный момент полагается $T_i = T_a$, для всех объёмных узлов $i=1..N_p$, для всех граничных узлов $j=1..B_p$ температура $T_{wj} = T_{wj}^H = T_o$.
2. В соответствии с (14) вычисляется средняя скорость движения топочной среды ϑ , исходя из которой, в соответствии с (13), вычисляется коэффициент конвективной теплоотдачи α и плотность конвективного потока (15) на стенку q_w^k в граничных узлах расчетной области. Интегрируя q_w^k по поверхности, можно определить объёмную плотность конвективных стоков тепла q_k в объеме топочной камеры (9).
3. В спектральном диапазоне $\lambda=1\text{--}6 \text{ мкм}$ в зависимости от температуры рассчитываются оптические характеристики топочной среды в каждом узле расчетной области. Далее определяется среднеинтегральный по спектральному диапазону коэффициент поглощения топочной среды $\tilde{\chi}_i$ (п.1.1) для каждого узла расчетной области. Решается система уравнений радиационного переноса (3),(12) в каждой точке спектра, и вычисляются интегральные значения U_i для всех узлов $i=1..N_p$ и интегральные плотности радиационного потока q_{wj}^r на стенку для всех граничных узлов $j=1..B_p$.
4. Решается уравнение (11) и определяются новые значения температуры топочной среды T_i в каждом узле расчетной области $i=1..N_p$.
5. Из системы уравнений (16) рассчитывается температура стенок топочной камеры T_{wj} и T_{wj}^H в каждом граничном узле расчетной области $j=1..B_p$.

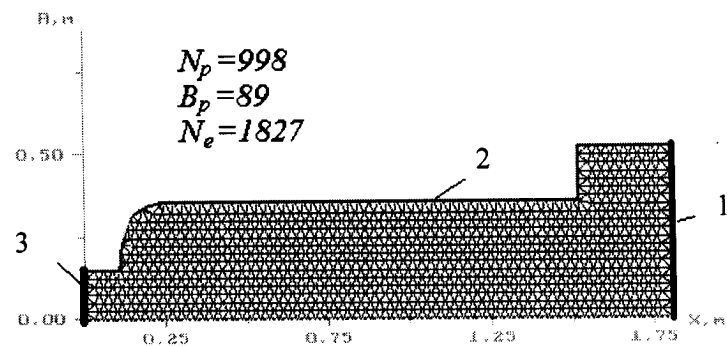


Рис.4. Расчетная сетка для определения теплового режима топочной камеры.

1 – передний экран, обтекаемый окружающим воздухом;
2 – омыываемые водой стенки топочной камеры;
3 – тупиковый экран, обтекаемый дымовыми газами

6. Вычисляется погрешность совпадения температур на соседних итерациях s и $s+1$:

$$\delta = \max \begin{cases} |T_i^{s+1} - T_i^s|, & i = 1..N_p, \\ |T_{wj}^{s+1} - T_{wj}^s|, & j = 1..B_p. \end{cases} \quad (17)$$

7. Если $\delta > \delta_0$ (δ_0 – заданная точность расчета, рекомендуется $\delta_0 \approx 0.1 {}^\circ\text{C}$), то расчет повторяется, начиная с пункта 2. В противном случае расчет считается законченным.

2. Результаты расчета теплового режима топочной камеры котла КП-1.0-06Г

Указанный в названии раздела котел имеет цилиндрическую форму с реверсивной топочной камерой (размеры указаны на рис.4), производительность 1 тонна пара в час. Горючая смесь (природный газ с воздухом, расход $G=0.323 \text{ кг/с}$, адиабатическая температура сгорания $T_a=1945 {}^\circ\text{C}$) подается через форсунку, расположенную на оси цилиндра на переднем экране (граница АВ, рис.5), который выполнен из теплозащитного материала и имеет термическое сопротивление $R=0.54 \text{ м}^2 \cdot {}^\circ\text{C}/\text{Вт}$. Затем струя газов ударяет в тупиковый экран (граница JK), также выполненный из огнеупорного материала с термическим сопротивлением $R=0.02 \text{ м}^2 \cdot {}^\circ\text{C}/\text{Вт}$, и, возвращаясь, омывает тепловоспринимающую поверхность топки (граница BCDEFJ). Стенка, омываемая теплоносителем, выполнена из стали и имеет термическое сопротивление $R=0.0002 \text{ м}^2 \cdot {}^\circ\text{C}/\text{Вт}$.

Процессы теплообмена и горения в данном котле с большой степенью точности можно считать осесимметричными. В связи с этим достаточно рассматривать половину радиального сечения топочной камеры (рис.4). Результаты расчета температуры уходящих дымовых газов и температурного поля в топочной камере приведены на рис.5. Там же указана температура уходящих дымовых газов T_k^* , рассчитанная по нормативному методу [7], и экспериментально [24] измеренная T_k^o . В результате сравнения можно сделать вывод о том, что для данного типа котлов предлагаемая методика является более корректной. Из расчета следует, что, несмотря на высокие скорости движения топочной среды в тупиковой топке и высокую степень турбулизации потока, превалирующим механизмом энергопереноса является излучение, на долю которого приходится более 80% от общего теплосъема в топочной камере.

Заключение

Предложенная методика расчета теплового режима топочных камер является замкнутой и по сравнению с нормативным методом обладает рядом преимуществ. Она дает возможность производить:

- учет конвективной составляющей теплообмена;
- уточненный расчет радиационной составляющей теплообмена;
- приближенный расчет температурного поля в топочной камере;
- определение локальных тепловых нагрузок на тепловоспринимающие поверхности топки;
- учет влияния оптических и теплофизических свойств топочных стенок (а следовательно, и уровня экологических загрязнений);
- учет конфигурации топочного объема;
- учет селективных свойств топочной среды и тепловоспринимающей поверхности.

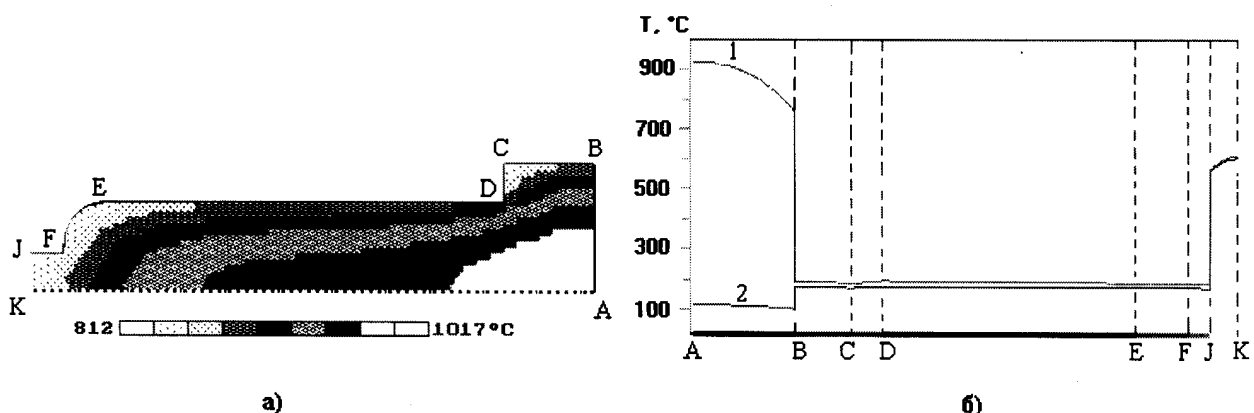


Рис.5. Термовой режим топочной камеры котла КП-1.0-0.6 Г

($G = 0,323 \text{ кг/с}$, $T_a = 1945^\circ\text{C}$, $Q_w = 425,9 \text{ кВт (100%)}$, $Q_w^k = 77,8 \text{ кВт (18%)}$, $Q_w^Y = 348,2 \text{ кВт}$

(82%), $T_k = 929^\circ\text{C}$ - расчет, $T_k^H = 1108^\circ\text{C}$ - нормативный метод, $T_k^{\mathcal{E}} = 910^\circ\text{C}$ - эксперимент):

а - распределение температуры в топке; б - температура стенок: 1 – температура внутренней поверхности топочных стенок; 2 – температура внешней поверхности топочных стенок

Авторы выражают благодарность Фонду фундаментальных исследований Республики Беларусь за финансовую поддержку настоящей работы.

Л и т е р а т у р а.

- Лыков А.В. Тепломассообмен: Справочник. М: Энергия, 1978. 480 с.
- Теплопередача. Учебник для вузов / В.П.Исаченко, В.А.Осипова, А.С.Сукомел. 4-е изд., перераб. и доп. М.: Энергоиздат, 1981. 416 с.
- Лойцянский Л.Г. Механика жидкости и газа. М.: Наука, 1973. 904 с.
- Адзерихо К.С., Ноготов Е.Ф., Трофимов В.П. Радиационный теплообмен в двухфазных средах. Минск: Наука и техника, 1987. 166 с.
- Fiveland W.A. Discrete-Ordinate Solutions of the Radiative Transport Equation for Rectangular Enclosures // Journal of heat transfer. 1984. Vol.106. P. 699-706.
- Блох А.Г., Журавлев Ю.А., Рыжков Л.Н. Теплообмен излучением: Справочник. М: Энергоатомиздат, 1991. 432 с.
- Термовой расчет котельных агрегатов. Нормативный метод. М: Энергия, 1973. 232 с.
- Siegel R., Howell J.R. Thermal Radiation Heat Transfer, 3rd Ed., Hemisphere, Washington. 1992. P. 795-804.
- Menguc M., Viskanta R. Radiative Transfer in Three-Dimensional Rectangular Enclosures // JQSRT. 1985. Vol.35. P. 533-549.
- Maruyama S., Aihara T. Radiative Heat Transfer of Arbitrary 3-D Participating Media and Surfaces with Non-Participating Media by a Generalized Numerical Method REM // Proceeding of the First International Symposium on Radiation Transfer, Kusadasi, Turkey. 1995. P. 153-167.
- Menguc M., Manickavasagam S. Inverse Radiation Problem in Axisymmetric Cylindrical Media //Journal of Thermophysics and Heat Transfer. 1993. P.479.
- Hottel N.C., Sarofim A.F. Radiative Transfer. Mc.Graw Hill Comp.: New York, 1967. 512 p.
- Chandrasekhar S. Radiative Transfer. Dover. New York, 1960.

- 14.Fiveland, W.A. Discrete-Ordinate Solutions of the Radiative Transport Equation for Rectangular Enclosures // Journal of heat transfer. 1984. Vol.106. P. 699-706.
- 15.Truelove J.S. Three-Dimensional Radiation in Absorbing-Emitting-Scattering Media Using the Discrete-Ordinates Approximation // JQSRT. 1988. Vol.39 №1, P. 27-31.
- 16.Герман М.Л. Влияние оптических свойств двухфазной среды и граничной поверхности на радиационный теплообмен в топочных камерах: Автореф. дис. ... канд. физ. мат. наук. Минск: АНК ИТМО АНБ. 1993. 17с.
- 17.Герман М.Л., Некрасов В.П., Ноготов Е.Ф. Численный метод расчета переноса излучения в двухфазных средах сложной геометрии //Докл. АН Беларуси. 1996. Т. 40, №3. С. 122-126.
- 18.Radiative Transfer - I. Proceeding of the First International Symposium on Radiation Transfer (edited by prof. M.Pinar Menguc), Kusadasi, Turkey, ICHMT, 1995. 800 р.
- 19.Герман Е.А., Герман М.Л., Некрасов В.П., Ноготов Е.Ф. Зависимость характеристик радиационного теплообмена от оптических свойств поглощающих, излучающих и рассеивающих сред и их граничных поверхностей // Инж.-физ. журн., 1996. Т.69, № 6. С.1014-1020.
- 20.Герман М.Л., Некрасов В.П., Ноготов Е.Ф., Беляев Ю.В. Влияние оптических свойств отделочных материалов на освещенность помещения. //Тр. науч.-техн. конф. "Нетрадиционные энергоэффективные системы освещения в жилых, общественных и производственных зданиях". Минск, НИПТИС, 1997. С.23-26
- 21.Zienkiewicz O.C. The Finite Element Method in Engineering Science. Mc.GRAW HILL LONDON, 1971.
- 22.Герман М.Л., Некрасов В.П., Ноготов Е.Ф. Аналитико-численный метод решения интегродифференциального уравнения переноса излучения в объемах произвольной геометрии // Докл. АН Беларуси. 1998. Т.42, N.1. С.67-73.
- 23.Мартыненко О.Г., Соковишин Ю.А. Свободно-конвективный теплообмен: Справочник. Минск: Наука и техника, 1982. 400 с.
- 24.Исследование теплообмена в топках водогрейных и паровых котлов малой мощности: Отчет № ГРО 19981090 / Под ред. А.В. Бородули. Минск, 1998.